

اندیشه آماری، بهار و تابستان ۱۳۹۱، شماره پیاپی ۳۳

سال هفدهم شماره اول، ص ۷۰-۸۶

## توزیع $t$ -چوله جایگزین مناسبی برای توزیع نمایی وزنی

محمد مهدی مقامی<sup>۱</sup> ، محمد بهرامی<sup>۲</sup>

چکیده:

در این مقاله، ابتدا به معرفی اجمالی توزیع‌های  $t$ -چوله و نمایی وزنی پرداخته و برخی از خواص مهم آن‌ها را بررسی می‌کنیم. سپس با استفاده از مجموعه داده‌های واقعی که برای نشان دادن برتری توزیع نمایی وزنی بر توزیع‌های واپل، گاما و نمایی تعیین یافته استفاده شده است، نشان می‌دهیم که داده‌ها توسط توزیع  $t$ -چوله نسبت به توزیع نمایی وزنی بهتر برآش می‌شوند. سرانجام ادعای خود را با استفاده از شبیه سازی نیز بررسی می‌کنیم.

**واژه‌های کلیدی:** توزیع  $t$ -چوله، توزیع نمایی وزنی،  $p$ -مقدار، لگاریتم درستنمایی.

<sup>۱</sup> گروه آمار دانشگاه اصفهان

<sup>۲</sup> استادیار گروه آمار دانشگاه اصفهان

## ۱ مقدمه

### ۲ توزیع $t$ -چوله

**تعریف ۱.۰۲.** اگر متغیر تصادفی پیوسته  $Z_\lambda$  دارای تابع چگالی  $f(z, \lambda) = 2\phi(z)\Phi(\lambda z)$  باشد، در این صورت گوییم  $Z_\lambda$  دارای توزیع نرمال چوله با کرد. توزیع  $t$ -چوله<sup>۳</sup> حالت کلی تری از توزیع نرمال چوله است و به مدل اجازه می‌دهد، علاوه بر پارامتر چولگی  $R \in \lambda$  است و آن را بنماد

$$Z_\lambda \sim SN(\lambda)$$

نسبت یک توزیع نرمال مستقل به تبدیلی از متغیر نمایش می‌دهیم. در این تعریف  $\phi$  و  $\Phi$  به ترتیب توابع چگالی و توزیع نرمال استاندارد هستند.

**лем ۲.۰۲.** اگر  $X, Y \stackrel{iid}{\sim} N(0, 1)$  آن‌گاه

$$X | Y < \lambda X \sim SN(\lambda)$$

اثبات. با توجه به آن که

$$\begin{aligned} f_{X|Y<\lambda X}(z, \lambda) \\ = \frac{f_X(z)P(Y < \lambda X | X = z)}{P(Y < \lambda X)} \end{aligned}$$

اما چون  $X$  و  $Y$  مستقل و دارای توزیع نرمال استاندارد هستند داریم

$$P(Y < \lambda X) = P(Y - \lambda X < 0) = \frac{1}{2}$$

بنابراین  $f_{X|Y<\lambda X}(z, \lambda) = 2\phi(z)\Phi(\lambda z)$  و

□ اثبات کامل است.

**تعریف ۳.۰۲.** گوییم متغیر تصادفی  $W_{\nu, \lambda}$  دارای دارای توزیع  $t$ -چوله با پارامترهای  $0 < \nu < \infty$  و  $\lambda \in R$  است اگر  $\frac{Z_\lambda}{V}$   $=^d W_{\nu, \lambda}$  که در آن  $Z_\lambda \sim SN(\lambda)$  و  $V = \frac{\chi_\nu^2}{\nu} \sim St(\nu, \lambda)$  توزیع را بنماد<sup>۴</sup>  $W_{\nu, \lambda} \sim St(\nu, \lambda)$  نشان می‌دهیم.

اولین بار آزالینی (۱۹۸۵) توزیع نرمال چوله را با اضافه کردن پارامتر چولگی به توزیع نرمال مطرح کرد. توزیع  $t$ -چوله<sup>۳</sup> حالت کلی تری از توزیع نرمال چوله است و به مدل اجازه می‌دهد، علاوه بر چولگی دارای دم نیز باشد. ساخت توزیع  $t$  از طریق

نسبت یک توزیع نرمال مستقل به تبدیلی از متغیر خی - دو است. برای ساخت توزیع  $t$ -چوله همین ایده به کار می‌رود (آزالینی و کاپیتنیو (۲۰۰۳)).

از طرفی گوپتا و کاندو (۲۰۰۹) در رده جدیدی از توزیع‌های نمایی وزنی<sup>۴</sup> پارامتر چولگی را به توزیع

نمایی اضافه کردند. سپس به بررسی ارتباط این رده با توزیع‌های نمایی، گاما و نمایی تعیین یافته

(گوپتا و کاندو (۲۰۰۷)) پرداخته و با مثال‌هایی از داده‌های واقعی نشان دادند که رده مطرح شده

نسبت به توزیع‌های وایلی، گاما و نمایی تعیین یافته دارای برتری است. بخش‌های ۲ و ۳ به ترتیب به معرفی توزیع‌های  $t$ -چوله و نمایی وزنی می‌پردازند.

در بخش (۱.۴) با استفاده از مثال‌های واقعی گوپتا و کاندو (۲۰۰۹) و معیارهای متفاوت مقایسه دو

مدل، نشان می‌دهیم که مدل  $t$ -چوله به داده‌ها برازنده تر است. شبیه سازی‌های انجام شده در بخش (۴.۲)، نتایج بخش (۱.۴) را تایید می‌کند.

<sup>۳</sup>Skew t distribution

<sup>۴</sup>Weighted exponential distribution

تعریف ۴.۰۲. متغیر تصادفی  $\mathbf{W} = (W_1, \dots, W_n)^T$  دارای توزیع  $t$ -است اگر داشته باشد که

$$\begin{aligned} & \mathbf{W}_1 \mid \mathbf{W}_2 < \lambda \mathbf{W}_1 \\ & \stackrel{d}{=} \frac{\mathbf{X}}{\sqrt{V}} \mid \frac{\mathbf{Y}}{\sqrt{V}} < \lambda \frac{\mathbf{X}}{\sqrt{V}} \\ & \stackrel{d}{=} \frac{\mathbf{X}}{\sqrt{V}} \mid \mathbf{Y} \\ & \stackrel{d}{=} \frac{\mathbf{X} \mid \mathbf{Y} < \lambda \mathbf{X}}{\sqrt{V}} \\ & \stackrel{d}{=} \frac{\mathbf{Z}_\lambda}{\sqrt{V}} \\ & \stackrel{d}{=} St(\nu, \lambda) \end{aligned}$$

$f(\mathbf{x} \mid \mu, \Sigma, \nu) = \frac{\Gamma(\frac{\nu+n}{2})}{\Gamma(\frac{\nu}{2})(\nu\pi)^{\frac{n}{2}}} \mid \Sigma \mid^{-\frac{1}{2}}$

$\times \left\{ 1 + \frac{(\mathbf{x} - \mu)' \Sigma^{-1} (\mathbf{x} - \mu)}{\nu} \right\}^{(-\frac{\nu+n}{2})}$

.  $\mathbf{x} \in R^2$  باشد که

$\square$  این توزیع را با نماد  $(\nu, \Sigma, \mu)$ ,  $t_k$ , تابع چگالی آن پس اثبات کامل است.

قضیه ۴.۰۲. اگر  $t_k(\mathbf{x}; \mu, \Sigma, \nu)$  و تابع توزیع آن را با

نماد  $T_k(\mathbf{x}; \mu, \Sigma, \nu)$  نشان می‌دهیم

برای تولید اعداد تصادفی از توزیع  $t$ -چوله می‌توان از لم زیر استفاده کرد.

$$\mathbf{W} = \begin{bmatrix} \mathbf{W}_1 \\ \mathbf{W}_2 \end{bmatrix} \sim t_n(\mu, \Sigma, \nu)$$

به طوری که بعد  $\mathbf{W}_1$  و  $\mathbf{W}_2$  به ترتیب برابر  $m$  و

$n-m$  باشد و  $\mu$  و  $\Sigma$  به صورت

$$\mu = \begin{bmatrix} \mu_1 \\ \mu_2 \end{bmatrix} \quad \text{و} \quad \text{لم ۵.۰۲. اگر}$$

$$\Sigma = \begin{bmatrix} \Sigma_{11} & \Sigma_{12} \\ \Sigma_{21} & \Sigma_{22} \end{bmatrix} \quad \text{و} \quad (\mathbf{W}_1, \mathbf{W}_2)^T \sim t_2(\mathbf{0}, \mathbf{I}_2, \nu)$$

آنگاه

افراز شده باشند، آنگاه:

$$\mathbf{W}_1 \mid \mathbf{W}_2 < \lambda \mathbf{W}_1 \sim St(\nu, \lambda).$$

الف-

$\mathbf{W}_1 \sim t_m(\mu_1, \Sigma_{11})$  می‌دانیم  $(\mathbf{W}_1, \mathbf{W}_2) \stackrel{d}{=} \frac{(X, Y)}{\sqrt{V}}$  که در

$\mathbf{W}_2 \sim t_{m-n}(\mu_2, \Sigma_{22})$  آن  $V \sim \chi_{\nu}^2 / \nu$  و  $(X, Y) \sim N_2(0, I_2)$

از طرفی با استفاده از قسمت (الف) قضیه ۶.۲،

-ب-

بنابراین  $W_1 \sim t(\nu)$

$$W_1 | W_2 = w_2 \sim$$

$$\begin{aligned} & f_{St}(y; \nu, \lambda) \\ &= \frac{t(y; \nu) P[W_2 < \lambda W_1 | W_1 = y]}{P[W_2 < \lambda W_1]} \quad t_m(\boldsymbol{\mu}_1(\mathbf{w}_2), \Sigma_{11}(\mathbf{w}_2), \nu + n - m) \\ & \quad \boldsymbol{\mu}_1(\mathbf{w}_2) = \boldsymbol{\mu}_1 + \Sigma_{12} \Sigma_{22}^{-1} (\mathbf{w}_2 - \boldsymbol{\mu}_2) \end{aligned}$$

آنچه در آن  $\Sigma_{11.2} = \Sigma_{11} - \Sigma_{12} \Sigma_{22}^{-1} \Sigma_{21}$  و داریم:

$$W_2 | W_1 = y \sim t(0, \frac{\nu + y^2}{\nu + 1}) \quad . \Sigma_{11}(\mathbf{w}_2) = \frac{\nu + (\mathbf{w}_2 - \boldsymbol{\mu}_2)^T \mathbf{w}_2 - \boldsymbol{\mu}_2}{\nu + n - m}$$

یا

$$\cdot (\sqrt{\frac{\nu + 1}{\nu + y^2}} W_2) | W_1 = y \sim t(0, 1, \nu + 1) \quad (W_1, W_2)^T \sim t_2(\begin{bmatrix} \mathbf{0} \\ \mathbf{0} \end{bmatrix}, \mathbf{I}_{2 \times 2}, \nu)$$

پس

نتیجه ۷.۰.۲. در حالت خاص اگر

چون  $n = 1$  و  $m = 2$ ، آنگاه داریم:

$$\begin{aligned} f_{St}(y; \nu, \lambda) &= t(y; \nu) \times \\ & P[\sqrt{\frac{\nu+1}{\nu+y^2}} W_2 < \lambda \sqrt{\frac{\nu+1}{\nu+y^2}} | W_1 = y] \quad W_1 | W_2 = w_2 \sim t_1(0, \frac{\nu + w_2^2}{\nu + 1}, \nu + 1) \\ & \frac{P[\sqrt{\frac{\nu+1}{\nu+y^2}} W_2 < \lambda \sqrt{\frac{\nu+1}{\nu+y^2}} | W_1 = y]}{P[W_2 < \lambda W_1]} \quad \text{لیکن} \\ & \text{سرانجام از تقارن } W_1 \text{ و } W_2 \text{ حول صفر داریم:} \quad (\sqrt{\frac{\nu + 1}{\nu + w_2^2}} W_1) | W_2 = w_2 \sim t_1(0, 1, \nu + 1) \\ & P[W_2 < \lambda W_1] = \frac{1}{2} \quad \text{قضیه ۸.۰.۲. تابع چگالی توزیع } t\text{-چوله به صورت} \end{aligned}$$

$$\begin{aligned} f_{St}(y; \nu, \lambda) & f_{St}(y; \nu, \lambda) = 2t(y; \nu) T[\sqrt{\frac{\nu + 1}{\nu + y^2}} \lambda y; \nu + 1] \\ &= 2t(y; \nu) T[\sqrt{\frac{\nu + 1}{\nu + y^2}} \lambda y; \nu + 1] \quad \text{به دست می آید.} \end{aligned}$$

و اثبات تمام است.

اثبات. فرض کنید  $(W_1, W_2)^T \sim t_2(0, I_2, \nu)$

با استفاده از لم ۵.۲ می توان نوشت:

تعویف ۹.۰.۲. فرض کنید  $W_{\nu, \lambda} \sim St(\nu, \lambda)$

در این صورت  $Y = \mu + \sigma W_{\nu, \lambda}$  دارای توزیع  $t$ -چوله با پارامترهای  $(\mu, \sigma, \lambda, \nu)$  بوده و آن را با نماد  $Y \sim St(\mu, \sigma, \lambda, \nu)$  نشان می دهیم. با در نظر گرفتن  $\frac{Y - \mu}{\sigma} \sim St(\lambda, \nu)$  تابع چگالی  $Y$  به

$$\begin{aligned} & f_{St}(y; \nu, \lambda) \\ &= f_{W_1 | W_2 < \lambda W_1}(y; \nu, \lambda) \\ &= \frac{f_{W_1}(y) P(W_2 < \lambda W_1 | W_1 = y)}{P[W_2 < \lambda W_1]} \end{aligned}$$

صورت زیر است: و استقلال این دو داریم:

$$X = U + V \sim WE(\alpha, \lambda).$$

$$f(y; \mu, \sigma, \lambda, \nu) = 2t\left(\frac{y-\mu}{\sigma}; \nu\right)T\left\{\lambda \frac{y-\mu}{\sigma} \left(\frac{\nu+1}{Q_y+\nu}\right); \nu+1\right\}$$

$$\text{که در آن } Q_y = \left(\frac{y-\mu}{\sigma}\right)^2.$$

تابع توزیع و تابع مولد گشتاور این توزیع به تکته در این مقاله برآوردهای ماکسیمم درستنمایی ترتیب برابر با توزیع  $t$ -چوله مورد استفاده قرار خواهد گرفت.

$$F_X(x; \alpha, \lambda) = \frac{\alpha+1}{\alpha} [1 - e^{-\lambda x}] - \frac{\lambda}{\lambda + \alpha \lambda} (1 - e^{-\lambda(1+\alpha)x}); x > 0,$$

برای یافتن این برآوردها ازتابع  $st.mle$  از بسته نرم افزار  $R$  استفاده می کنیم (آزالینی و کاپیتانیو ۲۰۰۳) را ببینید.

### ۳ توزیع نمایی وزنی

$$M_X(t) = \left(1 - \frac{t}{\lambda}\right)^{-1} \times \left(1 - \frac{t}{\lambda(1+\alpha)}\right)^{-1}; |t| < 1/\lambda$$

$$f_X(x; \alpha, \lambda) = \frac{\alpha+1}{\alpha} \lambda e^{-\lambda x} (1 - e^{-\alpha \lambda x}); x > 0$$

باشد، گوییم متغیر تصادفی  $X$  دارای تابع چگالی وزنی با پارامترهای شکل  $\alpha > 0$  و مقیاس  $\lambda > 0$  است و آن را با نماد  $WE(\alpha, \lambda)$  توزیع را با  $WE(\alpha, \lambda)$  نشان می دهیم.

برای تولید اعداد تصادفی از توزیع نمایی وزنی می دهیم. برآورد پارامترها از روش ماکسیمم درستنمایی و از لم زیر استفاده می شود.

روند زیر محاسبه می شوند. لم ۲۰۳ با فرض براساس نمونه مشاهده شده  $\{x_1, \dots, x_n\}$  و با استفاده از تغییر پارامتر  $\lambda = \alpha \lambda + \beta$  تابع درستنمایی به صورت زیر است:

$$U \sim \exp(\lambda),$$

$$V \sim \exp(\lambda(1 + \alpha))$$

## ۴ تحلیل داده‌های واقعی و

این تابع زیان به صورت زیر می‌باشد:

### شبیه‌سازی

$$l(x_1, \dots, x_n) \quad (1)$$

$$= n \ln(\beta + \lambda) - n \ln \beta$$

$$+ n \ln \lambda - \lambda \sum_{i=1}^n x_i$$

$$+ \sum_{i=1}^n \ln(1 - e^{-\beta x_i})$$

در این بخش می‌خواهیم برتری توزیع  $t$ -چوله بر نمایی وزنی را نشان دهیم. برای این منظور در بخش (۱.۴) از داده‌های واقعی و در بخش (۲.۴) از

با فرض معلوم بودن  $\beta$  و با مشتق گیری از معادله داده‌ای شبیه سازی شده استفاده می‌گردد.

(۱) نسبت به  $\lambda$  داریم:

برای مقایسه چند مدل، ملاک‌های متنوعی وجود

دارد که محققان بسته به سلیقه خود از آن‌ها استفاده

$$\hat{\lambda}(\beta) \quad (2)$$

می‌کنند. این ملاک‌ها عبارتند از لگاریتم درستنمایی،

$$= \frac{1}{2\bar{x}} (\sqrt{(\beta\bar{x}-2)^2 + 4\beta\bar{x}} - (\beta\bar{x}-2))$$

$BIC$ ،  $AIC$  و  $p$ -مقدار آزمون نیکویی برازش.

که تابع درستنمایی را ماسیم می‌کند. با جایگزینی گوپتا و کاندو (۲۰۰۹) ملاک  $p$ -مقدار را بر دیگر

ملاک‌ها ترجیح داده‌اند. البته ارقامی و همکاران

$\hat{\lambda}(\beta)$  در معادله (۱) داریم:

(۲۰۰۸) معایب  $p$ -مقدار را به عنوان معیار پشتیبانی

$$l(x_1, \dots, x_n) = n \ln(\beta + \hat{\lambda}(\beta)) \quad (3)$$

داده‌ها از فرضیه صفر، مورد بررسی قرار داده‌اند.

$$-n \ln \beta + n \ln \hat{\lambda}(\beta)$$

سپس پیشنهاد می‌کنند که برای این منظور بهتر است

$$-\hat{\lambda}(\beta) \sum_{i=1}^n x_i$$

از نسبت درستنمایی مشاهدات تحت فرض‌های صفر

$$+ \sum_{i=1}^n \ln(1 - e^{-\beta x_i})$$

و مقابل استفاده شود. معیار پیشنهاد شده، معادل

مقایسه لگاریتم درستنمایی مشاهدات تحت فرض

معادله (۳) فقط شامل مقدار نامعلوم  $\beta$  است. پس صفر و فرض مقابل است. در هر حال برای مقایسه

با استفاده از یک تابع اپتیمم، از ماسیم نمودن دو مدل از همه ملاک‌های موجود استفاده می‌کنیم.

تابع  $l(\beta)$  را می‌یابیم. اکنون با استفاده از معادله البته ملاک‌های شهودی مانند رسم هیستوگرام به

(۲) می‌توان  $\hat{\lambda}$  را محاسبه کرد. سرانجام چون  $= \beta$  همراه چگالی متناظر برآورد شده و یا تابع بقا نیز

$$\hat{\alpha} = \frac{\hat{\beta}}{\hat{\lambda}} \quad \text{پس موجودند.}$$

## ۱۰.۴ داده‌های واقعی

چوله به صورت

$$\hat{\mu} = 31.927373, \hat{\sigma} = 52.392291,$$

$$\hat{\lambda} = 3.629520, \hat{\nu} = 2.018602$$

و برای توزیع نمایی وزنی برابر  $2^{1.6232}$  و  $\hat{\alpha} = 0.0138 = \hat{\lambda}$  به دست می‌آیند.

شکل (۱) هیستوگرام داده‌ها به همراه توابع چگالی برازش داده شده به آن‌ها را نشان می‌دهد. با ملاحظه این نمودارها به طور شهودی توزیع  $t$ -چوله برازش مناسبتری به داده‌ها را پیشنهاد می‌کند (منحنی خط چین).

اکنون با معیارهای کمی به مقایسه دو مدل می‌پردازیم. یکی از معروف‌ترین ملاک‌ها لگاریتم درستنمایی است. اما از آنجا که تعداد پارامتر برآورد شده دو مدل یکسان نیست این ملاک چندان مناسب نیست. گرچه برخی از نویسنده‌گان به این موضوع توجهی ندارند (برای مثال آلانو-واله و همکاران (۲۰۰۳) را ببینید). به طور معمول برای مقایسه مدل‌هایی با تعداد پارامترهای متفاوت از ملاک اطلاع آکائیک ( $AIC$ ) و ملاک اطلاع بیزی ( $BIC$ ) استفاده می‌شود (لوکس (۱۹۹۲) را ببینید). معمولاً مدل با  $AIC$  کمتر بهتر است. این ملاک‌ها از فرمول‌های  $BIC = -2\log(L) + AIC = -2\log(L) + 2k$  محاسبه می‌شوند، که در آن‌ها  $L$  ماکسیمم درستنمایی،  $k$  تعداد پارامترهای مدل و  $N$  تعداد مشاهدات است. یکی دیگر از ملاک‌های عددی برآورد ماکسیمم درستنمایی پارامترهای توزیع  $t$ -

داده‌های واقعی این بخش شامل دو مجموعه داده می‌باشد که گوپتا و کاندو (۲۰۰۹) برای نشان دادن برتری توزیع نمایی وزنی بر توزیع‌های گاما، وایل و نمایی تعمیم یافته مورد استفاده قرار داده اند. در این بخش تنها نتایج مقایسه دوم مدل  $t$ -چوله و نمایی وزنی را بررسی می‌کنیم. برای مقایسه مدل نمایی وزنی با مدل‌های گاما، وایل و نمایی تعمیم یافته می‌توانید بخش (۵) گوپتا و کاندو (۲۰۰۹) را ببینید.

**مثال ۱۰.۴** این داده‌ها زمان زنده ماندن خروجچه‌ها بعد از تزریق مقادیر مختلف باسیل سل بر حسب روز است که توسط بیجر کدال (۱۹۶۰) مورد مطالعه قرار گرفت. داده‌ها به شرح زیر است:

$$x = \{12, 15, 22, 24, 24, 32, 33, 34, 38, 38, 43, 44, 48, 52, 53, 54, 54, 55, 56, 57, 58, 58, 59, 60, 60, 60, 60, 76, 61, 62, 63, 65, 65, 67, 68, 70, 70, 72, 73, 75, 76, 81, 83, 84, 85, 87, 91, 95, 96, 98, 99, 109, 110, 121, 127, 129, 131, 143, 146, 146, 175, 175, 211, 233, 258, 258, 263, 297, 341, 341, 376\}$$

$p$ -مقدار آزمون نیکویی برازش است. چون  $p$ - دیگری متفاوت است)، دانشجو به رشته پایین تر منتقل می‌شود. در سال ۲۰۰۳، نمره آزمون نهایی دانشجویان منتقل شده به رشته پایین تر در درس ریاضیات به شرح زیر بود.

$$y = \{29, 25, 50, 15, 13, 27, 15, 18, 7, 7, 8, 19, 12, 18, 5, 21, 15, 14, 39, 15, 86, 21, 15, 14, 39, 15, 14, 70, 44, 6, 23, 58, 19, 50, 23, 11, 6, 34, 18, 28, 34, 12, 37, 4, 60, 20, 23, 40, 65, 19, 31\}$$

در این مورد  $n = 48$  است. برای توزیع  $t$ -چوله برآوردهای

$$\hat{\mu} = 3.99999, \hat{\sigma} = 24.26756,$$

$$\hat{\lambda} = 2.208673, \hat{\nu} = 6.712828$$

بیشتری داشته باشد. از مهمترین آزمون‌های نیکویی برازش آزمون کلموگروف- اسمیرنف است. از این رو معمولاً  $p$ -مقدار این آزمون را با مقایسه می‌کنند. از طرفی چون مقدار آماره آزمون کلموگروف- اسمیرنف ( $K - S$ ) میزان فاصله بین تابع توزیع تجربی و برازش است، هرچه مقدار  $K - S$  کوچکتر باشد، مدل مناسب تر است. توجه کنید که ملاک  $p$ -مقدار با  $K - S$  معادل است. جدول (۱) خلاصه ای از ملاک‌های مقایسه دو مدل را برای داده‌ها نشان می‌دهد. با استفاده از هر یک از ملاک‌ها، مدل  $t$ -چوله بهتر است.

مثال ۲۰۴. موسسه فناوری کانپور هند، یکی از موسسات مشهور فنی پذیرش در رشته‌های مختلف است. این موسسه هر سال ا طریق انجام آزمون ورودی مشترک حدود ۴۵۰ دانشجو می‌پذیرد. از آنجا که این پذیرش بسیار دشوار و رقابت نیز بسیار بالاست، پذیرش را به شیوه زیر انجام می‌دهند. در سال اول، دانشجویان همه رشته‌ها، دروس اجباری رشته خود را می‌گذرانند. در اولین آزمون اواسط ترم اگر دانشجویی نمره زیر نمره حد نسبت کسب کند (که این نمره در هر سال واز یک رشته به

## ۲۰۴ شبیه سازی

در این بخش می‌خواهیم با استفاده از داده‌های شبیه سازی شده کارائی توزیع  $t$ -چوله را نشان دهیم.

برای این منظور نمونه‌های تصادفی به اندازه‌های تراست.

$$\{50, 100\}$$

## ۵ نتیجه گیری

در این مقاله با استفاده از مثال‌هایی از داده‌های واقعی و همچنین شبیه سازی نشان دادیم که مدل  $t$ -چوله جایگزین مناسبی برای توزیع نمایی وزنی است. برای مقایسه دو مدل از معیارهای مختلف استفاده شد. توجه کید که مدل  $t$ -چوله بر توزیع‌های گاما، وایل و نمایی تعمیم یافته نیز اولویت دارد. زیرا گوتا و کاندو (۲۰۰۹) برتری مدل نمایی وزنی را بر توزیع‌های گاما، وایل و نمایی تعمیم یافته نشان داده‌اند.

تعمیم یافته ( $GE$ ) با پارامترهای مختلف تولید کرده و سپس آنها را با استفاده از توزیع‌های  $t$ -چوله و نمایی وزنی برازش می‌دهیم. دلیل انتخاب این توزیع‌ها این است که مدل نمایی وزنی براین مدلها ارجحیت داد (گوتا و کاندو (۲۰۰۹)). ملاک‌های مقایسه دو مدل همانند بخش قبل به کار می‌روند. جداول ۳ و ۴ نشان می‌دهند که در اکثر موارد، توزیع  $t$ -چوله برازش بهتری به داده‌ها داد. شکل ۳، هیستوگرام نمونه‌های به اندازه  $n = 50$  به همراه چگالی‌های برازش شده را نشان می‌دهد.

چون در برخی از موارد نتایج خیلی به هم نزدیک به دست آمده‌اند، لذا ناچار شدیم که از تعداد نمونه‌های

تصادفی بیشتری استفاده کنیم و درصد مواردی که براساس هر یک از ملاک‌ها، مدل  $t$ -چوله برتری

ارد را گزارش دهیم. به این منظور هر بار با استفاده از  $n = 100$  نمونه به اندازه  $B = \{50, 100\}$

درصد مواردی که در آن‌ها توزیع  $t$ -چوله بهتر است را محاسبه نمودیم. نتایج در جدول (۵) گزارش شده اند. ملاحظه می‌شود که در همه موارد در بیش از نیمی از نمونه‌ها  $p$ -مقدار مدل  $t$ -چوله بیشتر است.

همچنین در ۷ مورد از ۱۲ مورد بررسی شده،  $AIC$  بیش از نیمی از موار برای این مدل کمتر است. با استفاده این نتایج برتری توزیع  $t$ -چوله توجیه پذیر

جدول ۱: مقایسه مدل‌های  $t$ -چوله و نمایی وزنی برای برآورد داده‌ها مثال (۱).

| مدل       | $K - S$ | $P - value$ | $\log - likelihood$ | $AIC$    |
|-----------|---------|-------------|---------------------|----------|
| $WE$      | 0.1173  | 0.2748      | -393.5689           | 791.1379 |
| $t$ -چوله | 0.0854  | 0.6701      | -390.8064           | 789.6427 |

جدول ۲: مقایسه مدل‌های  $t$ -چوله و نمایی وزنی برای برآورد داده‌ها مثال (۲) با ملاک‌های مختلف.

| مدل       | $K - S$ | $P - value$ | $\log - likelihood$ | $AIC$    |
|-----------|---------|-------------|---------------------|----------|
| $WE$      | 0.0933  | 0.7978      | -197.3370           | 398.6740 |
| $t$ -چوله | 0.0854  | 0.8752      | -195.3052           | 398.6105 |

جدول ۳: مقایسه توزیع‌های  $t$ -چوله و نمایی وزنی برای نمونه‌های شبیه سازی شده به اندازه  $n = 50$ 

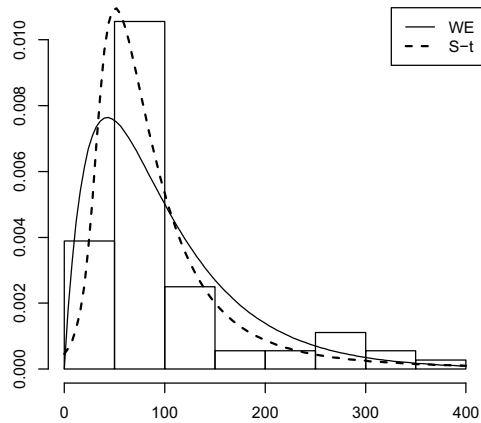
| مدل       | $Weibull(0.5, 1)$ |             |          | $Weibull(2, 3)$ |             |          |
|-----------|-------------------|-------------|----------|-----------------|-------------|----------|
|           | $K - S$           | $P - value$ | $AIC$    | $K - S$         | $P - value$ | $AIC$    |
| $WE$      | 0.2788            | 0.0006278   | 123.3373 | 0.1255          | 0.3784      | 176.0947 |
| $t$ -چوله | 0.1413            | 0.2467      | 114.413  | 0.0599          | 0.9891      | 172.281  |
| مدل       | $Gamma(0.5, 1)$   |             |          | $Gamma(2, 4)$   |             |          |
|           | $K - S$           | $P - value$ | $AIC$    | $K - S$         | $P - value$ | $AIC$    |
| $WE$      | 0.204             | 0.02663     | 59.55727 | 0.0873          | 0.8086      | 18.43670 |
| $t$ -چوله | 0.196             | 0.03696     | 63.9841  | 0.0783          | 0.8955      | 16.97318 |
| مدل       | $GE(0.5, 1)$      |             |          | $GE(1.5, 2)$    |             |          |
|           | $K - S$           | $P - value$ | $AIC$    | $K - S$         | $P - value$ | $AIC$    |
| $WE$      | 0.182             | 0.036378    | 38.46457 | 0.159           | 0.1431      | 50.57952 |
| $t$ -چوله | 0.1805            | 0.06748     | 43.72241 | 0.0984          | 0.682       | 51.58882 |

جدول ۴: مقایسه مدل‌های  $t$ -چوله و نمایی وزنی برای نمونه‌های شبیه سازی شده به اندازه  $n = 100$ 

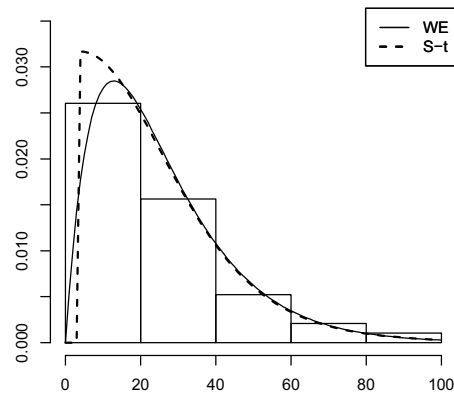
| مدل                  | <i>Weibull(0.5, 1)</i> |               |                    | <i>Weibull(2, 3)</i> |             |          |
|----------------------|------------------------|---------------|--------------------|----------------------|-------------|----------|
|                      | $K - S$                | $P - value$   | $AIC$              | $K - S$              | $P - value$ | $AIC$    |
| <i>WE</i>            | 0.2808                 | $2.847e - 07$ | 353.543            | 0.1448               | 0.03020     | 367.5081 |
| <i>چوله-t</i>        | 0.1221                 | 0.1015        | 321.3264           | 0.0745               | 0.6357      | 357.751  |
| <i>Gamma(0.5, 1)</i> |                        |               | <i>Gamma(2, 4)</i> |                      |             |          |
| مدل                  | $K - S$                | $P - value$   | $AIC$              | $K - S$              | $P - value$ | $AIC$    |
| <i>WE</i>            | 0.1718                 | 0.005472      | 119.0600           | 0.0678               | 0.7473      | 41.02609 |
| <i>چوله-t</i>        | 0.1256                 | 0.08523       | 114.8250           | 0.052                | 0.9499      | 41.06022 |
| <i>GE(0.5, 1)</i>    |                        |               | <i>GE(1.5, 2)</i>  |                      |             |          |
| مدل                  | $K - S$                | $P - value$   | $AIC$              | $K - S$              | $P - value$ | $AIC$    |
| <i>WE</i>            | 0.1641                 | 0.009188      | 111.4069           | 0.0602               | 0.8616      | 116.7340 |
| <i>چوله-t</i>        | 0.1333                 | 0.0571        | 110.9134           | 0.0834               | 0.4893      | 117.2572 |

جدول ۵: درصد مواردی که در ۱۰۰ نمونه،  $p$ -مقدار مدل  $t$ -چوله بیشتر و  $AIC$  آن کمتر است.

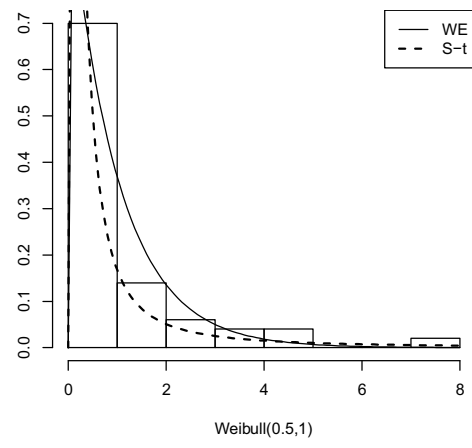
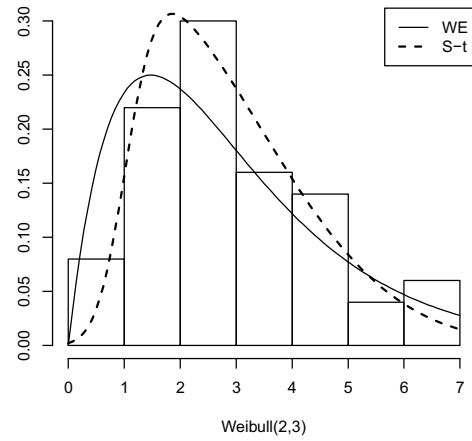
| <i>Weibull(0.5, 1)</i> |                |            | <i>Weibull(2, 3)</i> |                |            |
|------------------------|----------------|------------|----------------------|----------------|------------|
| <i>n</i>               | <i>P-value</i> | <i>AIC</i> | <i>n</i>             | <i>P-value</i> | <i>AIC</i> |
| $n = 50$               | 1              | 0.97       | $n = 50$             | 0.95           | 0.87       |
| $n = 100$              | 0.96           | 0.94       | $n = 100$            | 0.96           | 0.96       |
| <i>Gamma(0.5, 1)</i>   |                |            | <i>Gamma(2, 4)</i>   |                |            |
| <i>n</i>               | <i>P-value</i> | <i>AIC</i> | <i>n</i>             | <i>P-value</i> | <i>AIC</i> |
| $n = 50$               | 0.89           | 0.53       | $n = 50$             | 0.53           | 0.35       |
| $n = 100$              | 0.97           | 0.73       | $n = 100$            | 0.55           | 0.35       |
| <i>GE(0.5, 1)</i>      |                |            | <i>GE(1.5, 2)</i>    |                |            |
| <i>n</i>               | <i>P-value</i> | <i>AIC</i> | <i>n</i>             | <i>P-value</i> | <i>AIC</i> |
| $n = 50$               | 0.86           | 0.31       | $n = 50$             | 0.65           | 0.36       |
| $n = 100$              | 0.95           | 0.55       | $n = 100$            | 0.55           | 0.31       |

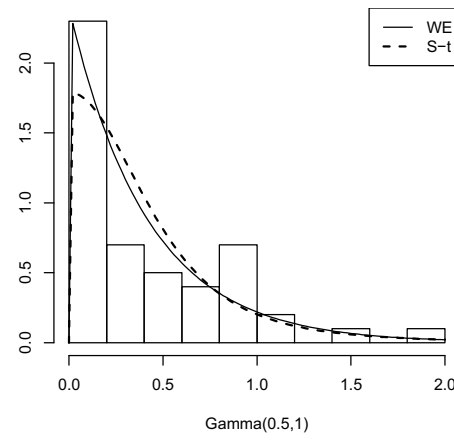
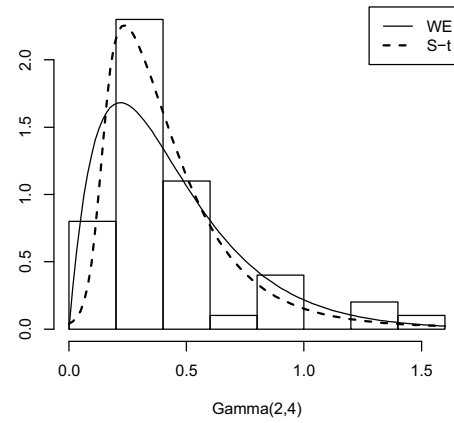


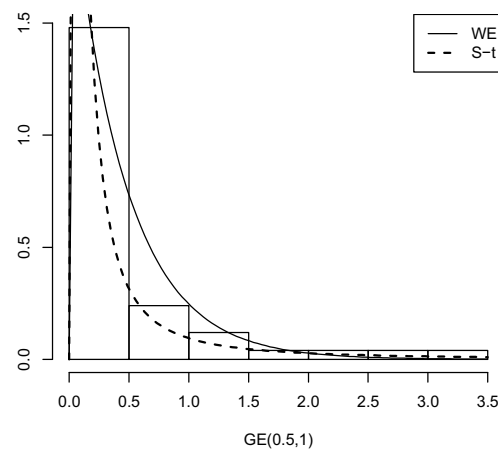
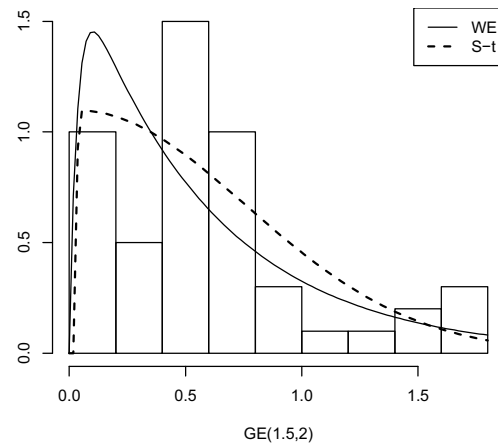
شکل ۳: هیستوگرام داده‌های مثال ۱.۴ به همراه چگالی‌های برازش شده به آن.



شکل ۴: هیستوگرام داده‌های مثال ۲.۴ به همراه چگالی‌های برازش شده به آن.







## مراجع

- [1] ارقامی، ن.ر.، زمان زاده، ا. و راحتی، س. (۱۳۸۷)، شواهد آماری، قسمت دوم: قانون درستنمایی و معایب  $p$ - مقدار به عنوان معیار پشتیبانی داده‌ها از فرضیه صفر، اندیشه آماری، سال ۱۳، شماره ۲-۳، ۱۵-۲.
- [2] Arellano-Valle, R.B., Gomez, H.W., Quintana, F.A. (2003). A new class of skew normal distributions. *Communications in Statistics-Theory and Methods*, 33(7), 1465-1480.
- [3] Azzalini, A. (1985). A class of distribution which includes the normal ones, *Scandinavian Journal of Statistics*, 12, 171-178.
- [4] Azzalini, A. and Capitanio, A. (2003). Distribution generated by perturbation of symmetry with emphasis on amultivariate skew t distribution. *J. Roy. Statist. Soc. Ser. B* 65, 367-389.
- [5] Bjerkedal, T. (1960).Acquisition of resistance in guinea pigs infected with different doses of virulent tubercle bacilli, *Amer. J. Hyg.*, 72, 130-148.
- [6] Gupta, R. D. and Kundu, D. (2007). Generalized exponential distribution: Existing results and some recent developments, *Journal of Statistical planning and Inference*, 137, 173-188.
- [7] Gupta, R. D. and Kundu, D. (2009).A new class of weighted exponential distributions, *Statistics*, 43, 621-643.
- [8] Leroux, B. G. (2007) Consistent estimation of a mixing distribution, *Annals of Statistics*, 20 (3), 1350-1360.